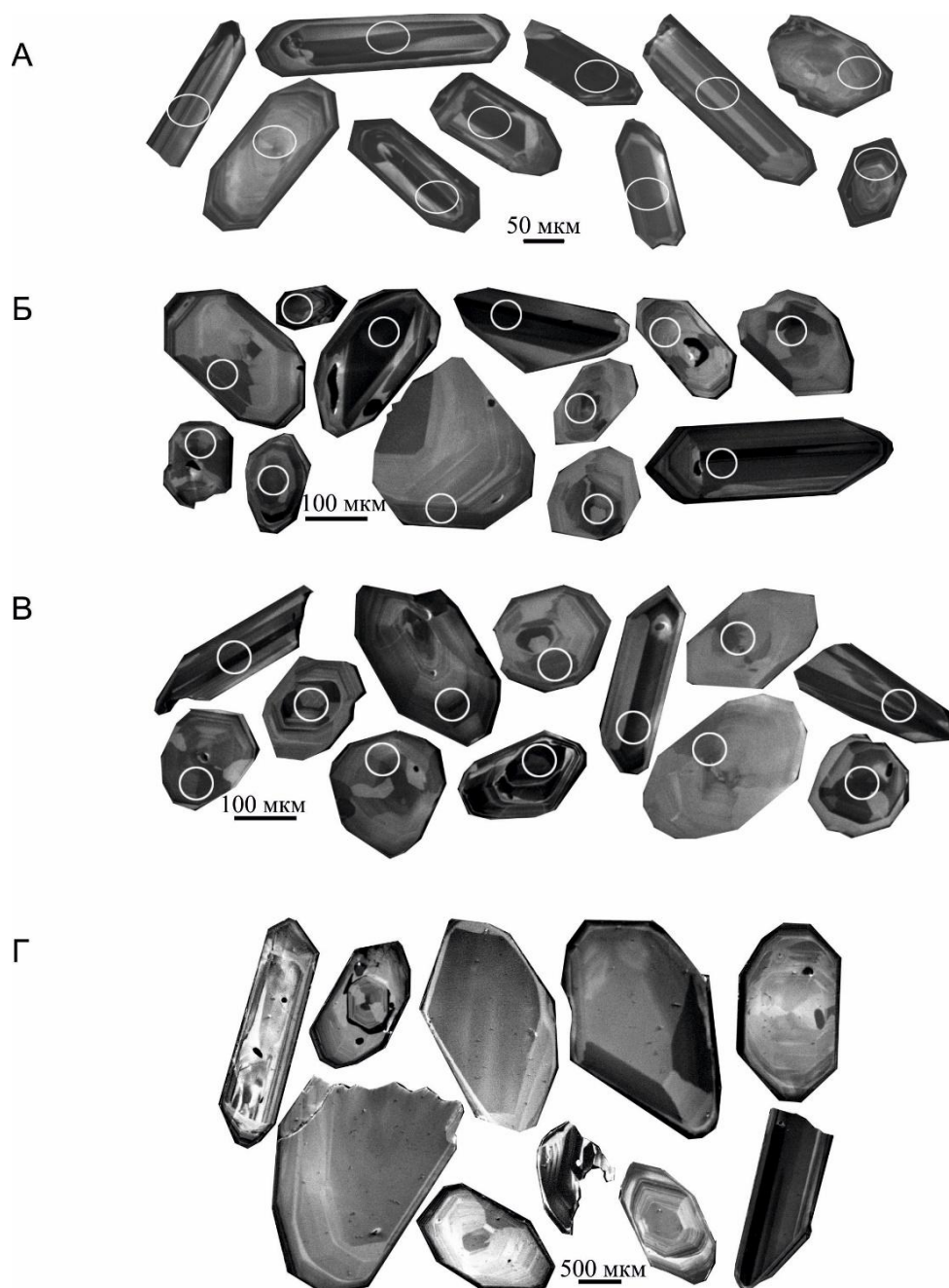


Приложения 2.1-2.4

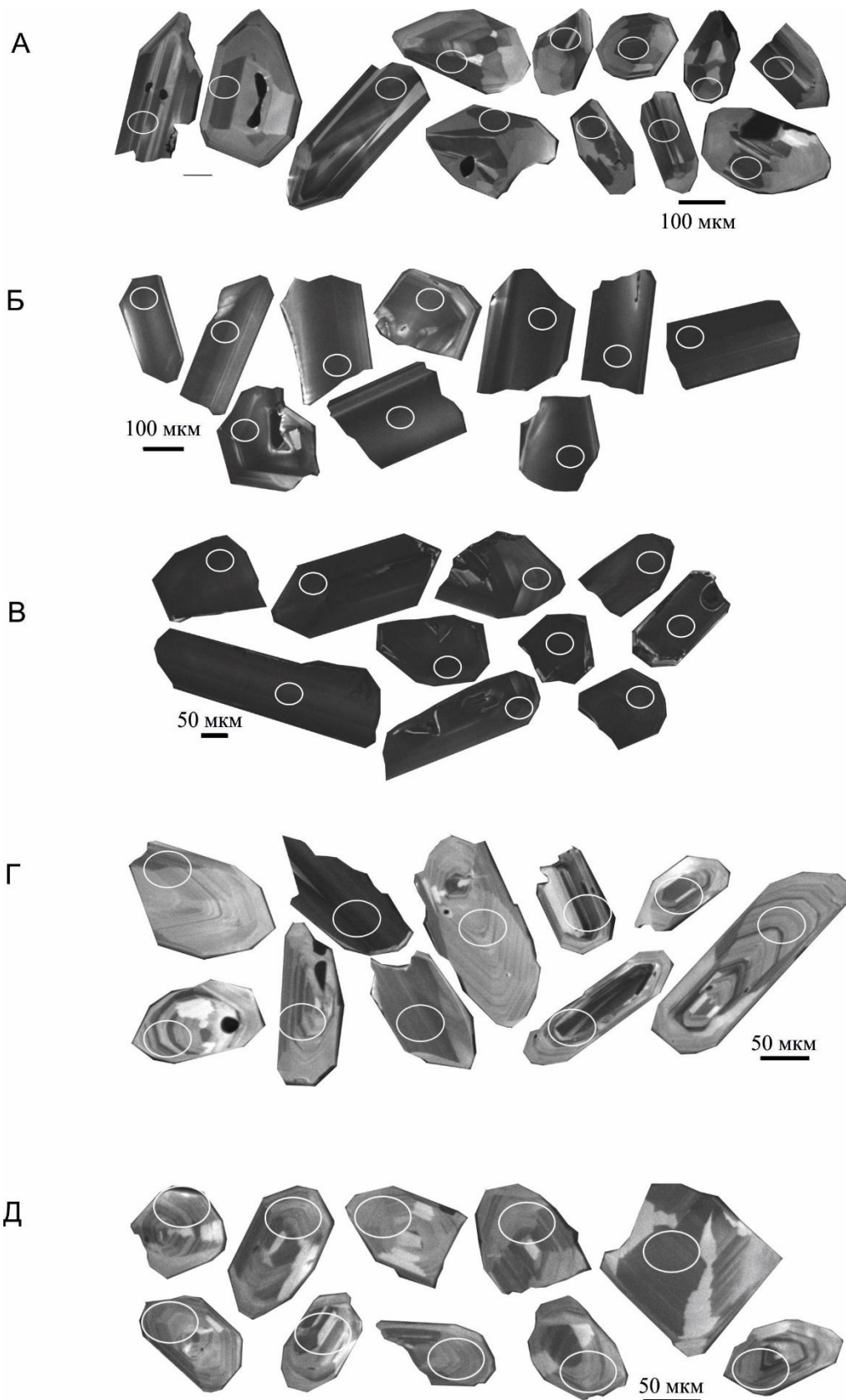
Позднеюрско-раннемеловая вулcano-плутоническая ассоциация Олойского пояса Западной Чукотки: U-Pb SIMS и LA-ICP-MS данные.

Тарас Валерьевич Кара, Марина Валентиновна Луцицкая, Сергей Михайлович Катков, Елена Алимовна Белоусова

Приложение 2.1. Катодолюминесцентные изображения цирконов из пород Ничанского массива. А – проба 12402; Б – проба 12403; В – проба 12410; Г – проба 1174А



Приложение 2.2. Католюминесцентные изображения цирконов из пород Вукнейского массива (А–В) и вмещающих пород (Г, Д). А – проба 70263; Б – проба 70266; В – проба 70274; Г – проба 70282; Д – проба 70283



Приложение 2.3. Результаты U-Pb (SIMSI) датирования цирконов из пород Ничанского, Вукнейского массивов и вмещающих вулканогенно-осадочных пород.

Ничанский массив

Точка анализа	%	Содержания, г/г		$^{232}\text{Th} / ^{238}\text{U}$	г/г $^{206}\text{Pb}^*$	Возраст, млн лет		Изотопные отношения										коэф. корр.		
		U	Th			$^{206}\text{Pb} / ^{238}\text{U}$	$^{238}\text{U} / ^{206}\text{Pb}$	$^{207}\text{Pb} / ^{206}\text{Pb}$	$^{238}\text{U} / ^{206}\text{Pb}^*$	$^{207}\text{Pb}^* / ^{206}\text{Pb}^*$	$^{207}\text{Pb}^* / ^{235}\text{U}$	$^{206}\text{Pb}^* / ^{238}\text{U}$								
<i>12402 - монцодиорит; 139±2 млн лет, СКВО=0.28</i>																				
12402_1.1	0.29	193	131	0.70	3.65	139.9	±2.9	45.46	2.1	0.0517	3.3	45.59	2.1	0.0494	4.4	0.1493	4.8	0.02193	2.1	.429
12402_2.1	0.66	250	150	0.62	4.72	139.2	±2.8	45.5	2	0.0518	2.8	45.81	2	0.0465	6.6	0.1398	6.9	0.02183	2	.298
12402_3.1	0.60	104	42	0.41	1.96	139.2	±3.1	45.5	2.2	0.0552	4.2	45.8	2.2	0.0504	7.2	0.151	7.6	0.02182	2.2	.295
12402_4.1	0.00	461	298	0.67	8.65	139.2	±2.7	45.82	2	0.0498	2.2	45.82	2	0.0498	2.2	0.15	2.9	0.02182	2	.670
12402_5.1	0.44	331	226	0.71	6.23	139.3	±2.8	45.58	2	0.0516	2.6	45.78	2	0.0481	4.6	0.1448	5	0.02184	2	.398
12402_6.1	0.27	749	643	0.89	14.1	139.3	±2.7	45.66	1.9	0.04854	1.8	45.78	1.9	0.0464	3.3	0.1396	3.9	0.02184	1.9	.503
12402_7.1	0.62	206	120	0.60	3.86	138.1	±2.9	45.89	2.1	0.0539	3.4	46.18	2.1	0.0489	7	0.146	7.3	0.02165	2.1	.288
12402_8.1	0.32	531	453	0.88	9.98	139.1	±2.7	45.7	2	0.0488	2.1	45.84	2	0.0463	3.9	0.1393	4.4	0.02181	2	.452
12402_9.1	0.54	123	51	0.43	2.32	139.3	±3.1	45.5	2.2	0.0558	4.3	45.8	2.2	0.0515	6.8	0.155	7.1	0.02185	2.2	.312
12402_10.1	0.59	235	140	0.62	4.9	153.8	±3.2	41.18	2.1	0.0552	3.2	41.43	2.1	0.0506	6.4	0.168	6.8	0.02414	2.1	.310

Примечание. Погрешности анализов приведены на уровне 1σ.

Ничанский массив

Точка анализа	% $^{206}\text{Pb}_c$	Содержания, г/г		$^{232}\text{Th} / ^{238}\text{U}$	г/г $^{206}\text{Pb}^*$	Возраст, млн лет	Изотопные отношения												коэф. корр.
		U	Th				$^{206}\text{Pb} / ^{238}\text{U}$	$^{238}\text{U} / ^{206}\text{Pb}$ ±%	$^{207}\text{Pb} / ^{206}\text{Pb}$ ±%	$^{238}\text{U} / ^{206}\text{Pb}^*$ ±%	$^{207}\text{Pb}^* / ^{206}\text{Pb}^*$ ±%	$^{207}\text{Pb}^* / ^{235}\text{U}$ ±%	$^{206}\text{Pb}^* / ^{238}\text{U}$ ±%						
<i>12403 - монцодиорит; 141±1 млн лет, СКВО=1.4</i>																			
12403_1.1	0.57	142	97	0.70	2.64	136.8 ±2.3	46.37 1.6	0.0559 4.8	46.64 1.7	0.0514 7.8	0.152 7.9	0.02144 1.7	.210						
12403_2.1	0.37	457	305	0.69	8.8	142.3 ±1.7	44.64 1.2	0.0521 2.7	44.81 1.2	0.0491 3.9	0.1512 4.1	0.02232 1.2	.299						
12403_3.1	0.29	194	105	0.56	3.66	139.9 ±2.1	45.46 1.5	0.0522 4.2	45.59 1.5	0.0499 6.4	0.151 6.5	0.02193 1.5	.231						
12403_4.1	0.29	281	165	0.60	5.34	140.5 ±1.9	45.26 1.4	0.0509 3.6	45.39 1.4	0.0486 4.8	0.1477 5	0.02203 1.4	.272						
12403_5.1	0.38	260	94	0.37	5.08	144.2 ±2	44.03 1.4	0.0508 3.6	44.2 1.4	0.0478 6	0.1491 6.1	0.02262 1.4	.228						
12403_6.1	0.38	205	84	0.42	3.96	142.8 ±2.3	44.48 1.6	0.054 4	44.65 1.6	0.0509 5.7	0.1572 6	0.0224 1.6	.268						
12403_7.1	0.62	215	133	0.64	4.15	142.2 ±2.1	44.54 1.4	0.0525 3.9	44.82 1.5	0.0475 6.8	0.146 7	0.02231 1.5	.210						
12403_8.1	0.33	236	119	0.52	4.41	138.2 ±1.9	46.01 1.4	0.0512 3.8	46.16 1.4	0.0486 5.3	0.1451 5.5	0.02167 1.4	.258						
12403_9.1	0.60	197	92	0.48	3.81	142.5 ±2.1	44.47 1.5	0.0533 4.1	44.74 1.5	0.0485 5.8	0.1494 6	0.02235 1.5	.250						
12403_10.1	1.06	322	219	0.70	6.07	138.7 ±1.9	45.48 1.3	0.0549 3.2	45.97 1.4	0.0464 8.5	0.139 8.6	0.02175 1.4	.161						
12403_11.1	0.28	422	334	0.82	8.22	143.9 ±1.8	44.17 1.2	0.052 2.8	44.3 1.3	0.0498 4.6	0.155 4.7	0.02258 1.3	.266						
12403_12.1	1.91	140	81	0.60	2.72	141.3 ±2.6	44.27 1.6	0.0595 4.7	45.14 1.9	0.0442 18	0.135 18	0.02215 1.9	.105						

Примечание. Погрешности анализов приведены на уровне 1σ.

Ничанский массив

Точка анализа	% $^{206}\text{Pb}_c$	Содержания, г/г		$^{232}\text{Th} / ^{238}\text{U}$	г/г $^{206}\text{Pb}^*$	Возраст, млн лет	Изотопные отношения												коэф. корр.
		U	Th				$^{206}\text{Pb} / ^{238}\text{U}$	$^{238}\text{U} / ^{206}\text{Pb}$ ±%	$^{207}\text{Pb} / ^{206}\text{Pb}$ ±%	$^{238}\text{U} / ^{206}\text{Pb}^*$ ±%	$^{207}\text{Pb}^* / ^{206}\text{Pb}^*$ ±%	$^{207}\text{Pb}^* / ^{235}\text{U}$ ±%	$^{206}\text{Pb}^* / ^{238}\text{U}$ ±%						
<i>12410 - гранодиорит; 1421 млн лет, СКВО=1.3</i>																			
12410_1.1	0.00	389	313	0.83	7.63	145.4 ±1.8	43.85 1.3	0.0489 3.1	43.85 1.3	0.0489 3.1	0.1538 3.4	0.0228 1.3	.378						
12410_2.1	0.73	147	64	0.45	2.84	142.2 ±2.4	44.52 1.6	0.0535 4.8	44.85 1.7	0.0477 10	0.147 10	0.0223 1.7	.164						
12410_3.1	0.81	216	94	0.45	4.06	138.7 ±2.1	45.6 1.5	0.0515 4.2	45.98 1.5	0.0451 8.7	0.135 8.8	0.02175 1.5	.173						
12410_4.1	0.27	391	183	0.48	7.6	143.7 ±1.8	44.23 1.3	0.0495 3.1	44.36 1.3	0.0473 4.6	0.1471 4.8	0.02255 1.3	.268						
12410_5.1	1.32	255	143	0.58	4.86	139.6 ±2.3	45.09 1.5	0.0548 3.7	45.69 1.6	0.0442 12	0.133 13	0.02189 1.6	.131						
12410_6.1	0.76	181	81	0.47	3.59	146.4 ±2.3	43.2 1.5	0.0522 4.4	43.53 1.6	0.0462 8.3	0.146 8.4	0.02297 1.6	.186						
12410_7.1	0.39	591	195	0.34	11.2	140.5 ±1.7	45.21 1.2	0.0513 2.5	45.38 1.3	0.0482 3.9	0.1465 4.1	0.02203 1.3	.306						
12410_8.1	0.34	302	208	0.71	5.72	139.9 ±2	45.44 1.4	0.0496 3.4	45.6 1.5	0.0469 5.5	0.1418 5.7	0.02193 1.5	.254						
12410_9.1	0.73	143	83	0.60	2.75	141.7 ±2.4	44.68 1.6	0.0589 4.6	45.01 1.7	0.0532 9.3	0.163 9.5	0.02222 1.7	.180						
12410_10.1	0.71	139	60	0.45	2.71	143.1 ±2.4	44.23 1.6	0.0535 4.8	44.54 1.7	0.0478 10	0.148 10	0.02245 1.7	.166						
12410_11.1	0.96	102	52	0.53	1.95	140.6 ±2.7	44.92 1.8	0.0536 5.7	45.35 1.9	0.0459 14	0.14 14	0.02205 1.9	.139						
12410_12.1	0.94	315	181	0.59	5.99	139.8 ±1.9	45.2 1.3	0.053 3.3	45.63 1.4	0.0455 8.3	0.138 8.4	0.02192 1.4	.164						

Примечание. Погрешности анализов приведены на уровне 1σ.

Вукнейский массив

Точка анализа	%	Содержания, г/г		$^{232}\text{Th} / ^{238}\text{U}$	г/г $^{206}\text{Pb}^*$	Возраст, млн лет	Изотопные отношения												коэф. корр.
		U	Th				$^{206}\text{Pb} / ^{238}\text{U}$	$^{238}\text{U} / ^{206}\text{Pb}$ ±%	$^{207}\text{Pb} / ^{206}\text{Pb}$ ±%	$^{238}\text{U} / ^{206}\text{Pb}^*$ ±%	$^{207}\text{Pb}^* / ^{206}\text{Pb}^*$ ±%	$^{207}\text{Pb}^* / ^{235}\text{U}$ ±%	$^{206}\text{Pb}^* / ^{238}\text{U}$ ±%						
<i>70263 - кварцевый монцодиорит; 139±2 млн лет, СКВО=0.77</i>																			
70263_1.1	0.00	43	23	0.56	0.846	145.6 ±3.8	43.8 2.6	0.0527 6.9	43.8 2.6	0.0527 6.9	0.166 7.4	0.02284 2.6	.356						
70263_2.1	1.33	69	37	0.54	1.3	137.3 ±3.3	45.8 2.3	0.0558 5	46.4 2.4	0.0452 16	0.134 16	0.02153 2.4	.148						
70263_3.1	2.12	77	43	0.58	1.45	137.4 ±4.3	45.4 2.2	0.0547 5.6	46.4 3.1	0.038 47	0.111 47	0.02155 3.1	.066						
70263_4.1	0.98	76	50	0.68	1.42	136.7 ±3.2	46.2 2.3	0.0572 5	46.7 2.3	0.0494 11	0.146 11	0.02143 2.3	.210						
70263_5.1	2.17	76	48	0.64	1.45	138.3 ±3.7	45.1 2.3	0.0554 5	46.1 2.7	0.038 31	0.113 31	0.02168 2.7	.086						
70263_6.1	1.40	58	35	0.62	1.12	140.6 ±3.6	44.7 2.4	0.0657 6.5	45.3 2.6	0.0546 14	0.166 15	0.02205 2.6	.177						
70263_7.1	1.32	60	36	0.62	1.17	141.7 ±3.6	44.4 2.4	0.0598 5.6	45 2.5	0.0494 14	0.151 14	0.02222 2.5	.176						
70263_8.1	1.91	63	35	0.57	1.23	141.7 ±3.6	44.1 2.3	0.0549 5.4	45 2.6	0.0395 24	0.121 24	0.02222 2.6	.106						
70263_9.1	1.78	41	21	0.53	0.777	137.1 ±4	45.7 2.8	0.0613 8.6	46.5 3	0.0471 21	0.139 21	0.0215 3	.140						
70263_10.1	0.48	74	44	0.61	1.38	137.2 ±3.2	46.2 2.3	0.0541 5.4	46.5 2.3	0.0503 9.5	0.149 9.8	0.02152 2.3	.238						
70263_11.1	1.36	62	25	0.41	1.17	138.1 ±3.6	45.6 2.5	0.055 5.9	46.2 2.7	0.0442 16	0.132 16	0.02165 2.7	.162						
70263_12.1	2.23	73	44	0.62	1.36	134.3 ±3.5	46.4 2.3	0.0666 4.9	47.5 2.7	0.049 22	0.142 23	0.02105 2.7	.117						

Примечание. Погрешности анализов приведены на уровне 1σ.

Вукнейский массив

Точка анализа	%	Содержания, г/г		$^{232}\text{Th} / ^{238}\text{U}$	г/г $^{206}\text{Pb}^*$	Возраст, млн лет		Изотопные отношения										коэф. корр.		
		U	Th			$^{206}\text{Pb} / ^{238}\text{U}$	$^{238}\text{U} / ^{206}\text{Pb}$	$\pm\%$	$\pm\%$	$^{207}\text{Pb} / ^{206}\text{Pb}$	$\pm\%$	$\pm\%$	$^{238}\text{U} / ^{206}\text{Pb}^*$	$\pm\%$	$\pm\%$	$^{207}\text{Pb}^* / ^{206}\text{Pb}^*$	$\pm\%$		$\pm\%$	$^{207}\text{Pb}^* / ^{235}\text{U}$
<i>70266 - кварцевый монцодиорит; 143±1 млн лет, СКВО=0.19</i>																				
70266_1.1	0.18	707	610	0.89	13.5	141.7	±1.6	44.9	1.1	0.05	2.1	44.98	1.1	0.0485	3.3	0.1488	3.5	0.02223	1.1	.330
70266_2.1	0.15	878	944	1.11	16.9	143.1	±1.6	44.5	1.2	0.04999	2	44.57	1.2	0.0488	2.9	0.1509	3.1	0.02244	1.2	.376
70266_3.1	0.42	524	450	0.89	10.3	145.2	±1.8	43.7	1.3	0.0515	2.6	43.89	1.3	0.0482	4.2	0.1513	4.4	0.02278	1.3	.291
70266_4.1	0.32	342	241	0.73	6.59	142.5	±2	44.6	1.4	0.0508	5.6	44.74	1.4	0.0482	7.1	0.149	7.2	0.02235	1.4	.198
70266_5.1	0.74	324	218	0.70	6.16	140.2	±2	45.15	1.4	0.0535	3.4	45.49	1.5	0.0476	6.8	0.144	7	0.02198	1.5	.211
70266_6.1	0.17	484	370	0.79	9.27	141.8	±2.4	44.88	1.7	0.0505	5.4	44.95	1.7	0.0492	6.2	0.1508	6.4	0.02225	1.7	.268
70266_7.1	0.83	503	388	0.80	9.76	142.9	±2	44.26	1.4	0.0558	2.7	44.63	1.4	0.0491	7.3	0.152	7.5	0.02241	1.4	.194
70266_8.1	0.00	473	345	0.75	9.14	143.6	±2	44.45	1.4	0.0484	2.9	44.4	1.4	0.0494	3.2	0.1533	3.5	0.02252	1.4	.404
70266_9.1	0.15	607	463	0.79	11.5	140.6	±1.7	45.28	1.3	0.0489	2.6	45.35	1.3	0.0478	3.1	0.1453	3.3	0.02205	1.3	.377
70266_10.1	0.35	1053	1279	1.25	20.4	143.2	±2.2	44.35	1.6	0.0519	1.9	44.51	1.6	0.0491	3.2	0.1521	3.6	0.02247	1.6	.446

Примечание. Погрешности анализов приведены на уровне 1σ.

Вукнейский массив

Точка анализа	%	Содержания, г/г		$^{232}\text{Th} / ^{238}\text{U}$	г/г $^{206}\text{Pb}^*$	Возраст, млн лет		Изотопные отношения								коэф. корр.				
		U	Th			$^{206}\text{Pb} / ^{238}\text{U}$	$^{238}\text{U} / ^{206}\text{Pb}$	$\pm\%$	$\pm\%$	$^{238}\text{U} / ^{206}\text{Pb}^*$	$\pm\%$	$\pm\%$	$\pm\%$	$\pm\%$	$\pm\%$		$\pm\%$			
<i>70274 - гранодиорит; 144±1 млн лет, СКВО=0.19</i>																				
70274_1.1	0.04	1469	1015	0.71	28.5	144.1	±1.6	44.23	1.1	0.04929	1.7	44.25	1.1	0.04894	1.8	0.1525	2.1	0.0226	1.1	.536
70274_2.1	0.09	1019	577	0.59	19.6	142.6	±1.6	44.68	1.2	0.0499	3.1	44.72	1.2	0.0491	3.3	0.1515	3.5	0.02236	1.2	.338
70274_3.1	0.00	1166	726	0.64	22.7	144.5	±1.7	44.12	1.2	0.04873	1.9	44.12	1.2	0.04873	1.9	0.1523	2.2	0.02267	1.2	.537
70274_4.1	0.09	1522	784	0.53	29.9	145.5	±1.6	43.76	1.1	0.04915	1.6	43.8	1.1	0.04844	2	0.1525	2.3	0.02283	1.1	.498
70274_5.1	0.11	1297	1140	0.91	25.3	144.9	±1.6	43.95	1.1	0.04916	1.8	43.99	1.1	0.0483	2.3	0.1514	2.6	0.02273	1.1	.443
70274_6.1	0.07	1397	947	0.70	27	143.5	±1.7	44.41	1.2	0.04975	1.8	44.44	1.2	0.04921	2	0.1527	2.3	0.0225	1.2	.512
70274_7.1	0.00	659	431	0.68	12.6	141.7	±1.9	44.98	1.3	0.0483	2.7	44.98	1.3	0.0483	2.7	0.1482	3	0.02223	1.3	.445
70274_8.1	0.11	1117	941	0.87	21.4	142.1	±1.8	44.8	1.3	0.0494	2.1	44.85	1.3	0.0485	2.5	0.1492	2.8	0.02229	1.3	.458
70274_9.1	0.00	1211	902	0.77	23.7	145.5	±1.8	43.81	1.2	0.04886	1.8	43.81	1.2	0.04886	1.8	0.1538	2.2	0.02283	1.2	.551
70274_10.1	0.00	1099	622	0.59	21	141.5	±1.7	45.05	1.2	0.04896	2	45.05	1.2	0.04896	2	0.1498	2.3	0.0222	1.2	.519

Примечание. Погрешности анализов приведены на уровне 1σ.

Вмещающие отложения

Точка анализа	%	Содержания, г/г		²³² Th / ²³⁸ U	г/г ²⁰⁶ Pb*	Возраст, млн лет	Изотопные отношения												коэф. корр.
		U	Th				²⁰⁶ Pb / ²³⁸ U	²³⁸ U / ²⁰⁶ Pb ±%	²⁰⁷ Pb / ²⁰⁶ Pb ±%	²³⁸ U / ²⁰⁶ Pb* ±%	²⁰⁷ Pb* / ²⁰⁶ Pb* ±%	²⁰⁷ Pb* / ²³⁵ U ±%	²⁰⁶ Pb* / ²³⁸ U ±%						
<i>70282 - флюидальный дацит; 147±2 млн лет, СКВО=0.41</i>																			
70282_1.1	3.71	35	10	0.30	0.716	146.6 ±5	41.8 2.7	0.0639 6.5	43.4 3.5	0.034 55	0.107 55	0.023 3.5	.063						
70282_2.1	0.58	253	161	0.66	5.03	146.3 ±3.1	43.3 2	0.052 2.7	43.55 2.1	0.0474 10	0.15 10	0.02296 2.1	.205						
70282_3.1	5.68	34	9	0.29	0.703	145.2 ±6.3	41.4 2.7	0.0788 9.4	43.9 4.4	0.033 90	0.103 90	0.0228 4.4	.049						
70282_4.1	1.57	81	34	0.43	1.6	143.2 ±3.4	43.82 2.2	0.0613 4.3	44.5 2.4	0.0488 16	0.151 16	0.02246 2.4	.150						
70282_5.1	1.34	62	24	0.41	1.25	147.3 ±3.9	42.67 2.3	0.0606 8.7	43.3 2.7	0.05 24	0.159 24	0.02312 2.7	.112						
70282_6.1	1.24	63	29	0.47	1.3	150.4 ±3.6	41.84 2.3	0.0573 5	42.4 2.4	0.0475 14	0.154 14	0.0236 2.4	.176						
70282_7.1	1.40	163	70	0.44	3.21	144.2 ±3.1	43.57 2.1	0.056 5.7	44.19 2.2	0.0448 15	0.14 15	0.02263 2.2	.148						
70282_8.1	0.33	216	151	0.72	4.27	146.3 ±3	43.41 2.1	0.0522 3.7	43.55 2.1	0.0495 5	0.1568 5.4	0.02296 2.1	.388						
70282_9.1	2.92	65	24	0.37	1.32	146 ±4	42.36 2.3	0.0629 11	43.6 2.8	0.039 36	0.124 36	0.02291 2.8	.077						
70282_10.1	3.07	55	19	0.36	1.1	144.7 ±4.4	42.7 2.4	0.067 5.1	44 3	0.042 36	0.132 36	0.0227 3	.085						

Примечание. Погрешности анализов приведены на уровне 1σ.

Вмещающие отложения

Точка анализа	%	Содержания, г/т		$^{232}\text{Th} / ^{238}\text{U}$	г/т $^{206}\text{Pb}^*$	Возраст, млн лет		Изотопные отношения								коэф. корр.				
		U	Th			$^{206}\text{Pb} / ^{238}\text{U}$	$^{238}\text{U} / ^{206}\text{Pb}$	$\pm\%$	$^{207}\text{Pb} / ^{206}\text{Pb}$	$\pm\%$	$^{238}\text{U} / ^{206}\text{Pb}^*$	$\pm\%$	$^{207}\text{Pb}^* / ^{206}\text{Pb}^*$	$\pm\%$	$^{207}\text{Pb}^* / ^{235}\text{U}$		$\pm\%$	$^{206}\text{Pb}^* / ^{238}\text{U}$	$\pm\%$	
<i>70283 - кристаллопластический туф кислого состава; 147±3 млн лет, СКВО=0.16</i>																				
70283_1.1	2.47	59	17	0.30	1.18	145.3	±4.1	42.8	2.4	0.0658	5.5	43.9	2.8	0.046	27	0.145	27	0.02279	2.8	.106
70283_2.1	4.02	56	17	0.32	1.13	143.7	±4.9	42.6	2.4	0.0679	11	44.3	3.4	0.035	59	0.11	60	0.02254	3.4	.058
70283_3.1	2.41	62	18	0.30	1.26	148.2	±4	41.95	2.4	0.0577	5.8	43	2.8	0.038	31	0.123	32	0.02326	2.8	.088
70283_4.1	1.09	72	29	0.41	1.45	148.4	±3.5	42.47	2.3	0.0596	4.9	42.9	2.4	0.0509	11	0.164	12	0.02329	2.4	.203
70283_5.1	5.08	30	8	0.29	0.61	144.5	±6	41.8	2.8	0.076	9.9	44.1	4.2	0.035	76	0.109	76	0.02267	4.2	.056
70283_6.1	1.46	52	16	0.32	1.07	149.9	±3.9	41.9	2.5	0.0577	5.9	42.5	2.6	0.046	17	0.149	17	0.02352	2.6	.154
70283_7.1	1.85	43	19	0.46	0.871	147.3	±4.1	42.5	2.6	0.0705	6.1	43.3	2.8	0.0559	17	0.178	17	0.02311	2.8	.161
70283_8.1	1.93	42	12	0.30	0.834	144.3	±4.4	43.3	2.8	0.0688	8.7	44.2	3.1	0.053	20	0.167	21	0.02264	3.1	.148
70283_9.1	3.57	46	17	0.39	0.952	147.1	±5.2	41.8	2.7	0.0631	9.3	43.3	3.6	0.034	58	0.109	58	0.02308	3.6	.062
70283_10.1	3.37	86	40	0.48	1.79	149.2	±4.2	41.24	2.2	0.0619	6.3	42.7	2.9	0.035	43	0.112	43	0.02342	2.9	.067

Примечание. Погрешности анализов приведены на уровне 1σ.

Приложение 2.4. Результаты U-Pb (LA-ICP-MS) датирования цирконов из кварцевых монцодиоритов Ничанского массива.

Точка анализа	Содержания, г/г		Th/U	Изотопные отношения						Коэф. корр.	Возрасты, млн лет					
	Th	U		²⁰⁷ Pb/ ²⁰⁶ Pb	±2s	²⁰⁷ Pb/ ²³⁵ U	±2s	²⁰⁶ Pb/ ²³⁸ U	±2s		²⁰⁷ Pb/ ²⁰⁶ Pb	±2s	²⁰⁷ Pb/ ²³⁵ U	±2s	²⁰⁶ Pb/ ²³⁸ U	±2s
1174a-01	717	882	0.81	0.0556	0.0032	0.1633	0.0093	0.0213	0.0006	0.5334	435	125	153.6	8	135.9	4
1174a-03	100	183	0.55	0.0519	0.0024	0.1528	0.0068	0.0213	0.0005	0.5370	283	103	144.4	6	136.1	3
1174a-04	100	166	0.60	0.0537	0.0025	0.1616	0.0073	0.0218	0.0005	0.5340	358.1	103	152.1	6	139.2	3
1174a-07	601	688	0.87	0.0471	0.0018	0.1403	0.0049	0.0216	0.0004	0.5902	56	86	133.3	4	137.7	3
1174a-10	93	155	0.60	0.0511	0.0025	0.1560	0.0075	0.0222	0.0006	0.5173	244.1	112	147.2	7	141.2	3
1174a-11	126	267	0.47	0.0558	0.0029	0.1711	0.0087	0.0223	0.0006	0.5307	442.8	113	160.4	8	141.9	4
1174a-12	88	149	0.59	0.0523	0.0037	0.1679	0.0115	0.0233	0.0007	0.4389	297.3	158	157.6	10	148.4	4
1174a-13	66	115	0.57	0.0531	0.0027	0.1667	0.0081	0.0228	0.0006	0.5087	333.8	113	156.6	7	145.1	4
1174a-15	84	232	0.36	0.0524	0.0021	0.1602	0.0063	0.0222	0.0005	0.5760	304.4	92	150.9	6	141.3	3
1174a-16	61	558	0.11	0.0551	0.0029	0.1625	0.0082	0.0214	0.0005	0.4969	417.5	114	152.9	7	136.3	3
1174a-17	86	163	0.53	0.0552	0.0030	0.1655	0.0085	0.0217	0.0005	0.4852	422	117	155.5	7	138.5	3